

## ОЦЕНКА ТОЧНОСТИ НЕПРЕРЫВНОЙ И ДИСКРЕТНОЙ МОДЕЛЕЙ МАРКОВА

Михайлова Т.В.  
Кафедра ПМИИ ДонНТУ  
tanya@r5.dgtu.donetsk.ua

### Abstract

*Michailova T. Estimation of exactness of the continuous and discrete models Markov's. In the work there is estimations of exactness of continuous and discrete models.*

### Введение

Одной из проблем при использовании дискретных и непрерывных моделей является уточнение границы их использования. Дискретные Марковские модели, по сравнению с непрерывными, отражают работу вычислительной системы более точно, поскольку ВС имеют дискретный характер работы, и в вычислительной среде присутствует элемент вероятности. Однако непрерывные модели менее трудоемки. В различных работах приводятся количественные оценки только для непрерывных моделей [1], ссылки на оптимальное соотношение между эффективностью и точностью непрерывных моделей [2], оценки погрешности укрупненных состояний для непрерывных моделей [3]. Определим точность непрерывной и дискретной моделей и границы их использования. Сравним непрерывную и дискретную модели на примере вычислительной системы из  $K$  одинаковых устройств, которая обслуживает не более  $M$  заявок.

### Непрерывная модель

Пусть длительность обслуживания заявки имеет экспоненциальное распределение с математическим ожиданием  $\mu = V/\Theta$  с<sup>-1</sup>, где  $\Theta$  - трудоемкость обслуживаемой заявки [единиц обслуживания],  $V$  - быстродействие обслуживания [единиц обслуживания в сек.] на каждом из устройств.

Построим непрерывную модель. Граф переходов представлен на рис.1. За состояние примем количество обрабатываемых на устройствах заявок  $m$  ( $m = \overline{0, M}$ ). Т.о. множество состояний  $S = \{(m) | m = \overline{0, M}\}$ . Количество состояний  $L = M + 1$ .

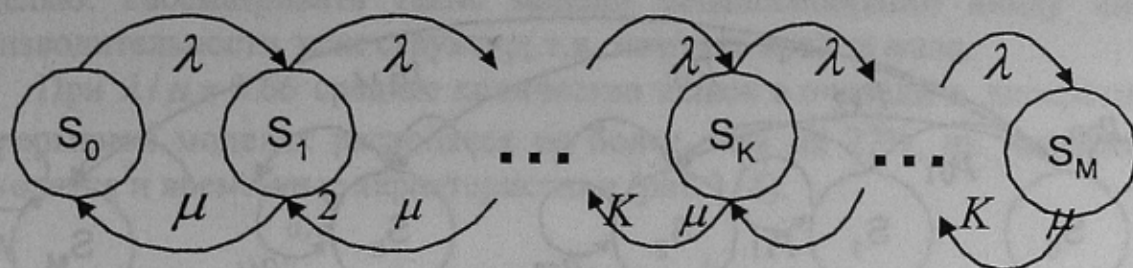


Рисунок 1 – Граф переходов непрерывной модели

Для определения вектора стационарных вероятностей  $\bar{\pi} = (\pi_0, \pi_1, \dots, \pi_M)$  составим уравнения баланса:

$$\begin{cases} \lambda * \pi_0 + \mu * \pi_1 = 0, \\ \lambda * \pi_{i-1} - (\lambda + (i-1) * \mu) * \pi_i + i * \mu * \pi_{i+1} = 0, \text{ если } i = \overline{2, K}, \\ \lambda * \pi_{i-1} - (\lambda + K * \mu) * \pi_i + K * \mu * \pi_{i+1} = 0, \text{ если } i = \overline{K+1, K}. \end{cases}$$

Одно из уравнений заменим условием нормировки [4].

Характеристики, получаемые с помощью непрерывной модели [4]: среднее число занятых устройств в узле, загрузка устройств, среднее число задач в узле, среднее число задач, находящихся в очереди, среднее время пребывания в узле.

### Дискретная Марковская модель

Для построения дискретной марковской модели, соответствующей той же системе, введем:

$q_0 = \lambda * \tau$  ( $r_0 = 1 - q_0$ )-вероятность того, что в следующий такт времени (где  $\tau$ - такт времени), заявка поступит (не поступит) на обслуживание в ВС;

$q_1 = \tau * \mu$  ( $r_1 = 1 - q_1$ )- вероятность того, что в следующий такт времени, устройство завершит (не завершит) обслуживание.

Матрица переходных вероятностей  $P = \{p_{ij}, i = \overline{0, M}, j = \overline{0, M}\}$  и СЛАУ для определения стационарных вероятностей строятся в соответствии с методикой [4].

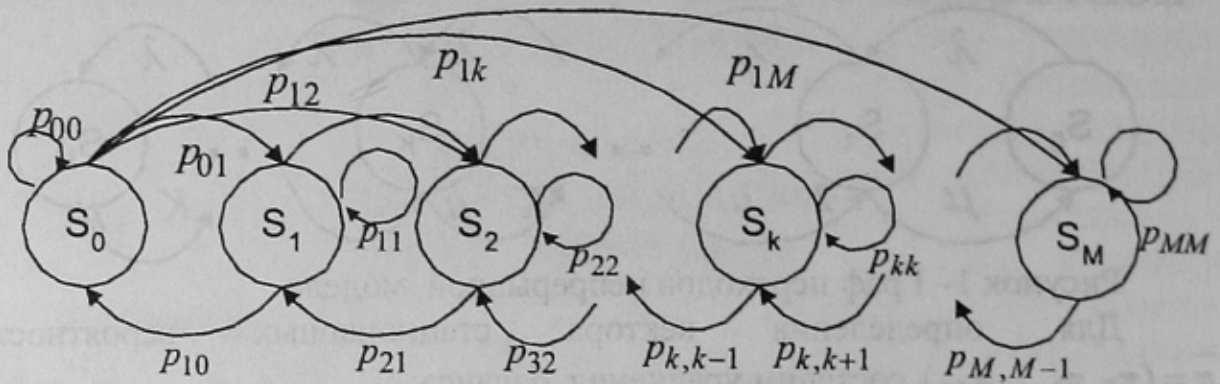


Рисунок 2— Граф переходов дискретной модели

Элементы матрицы переходных вероятностей  $P$  определяются следующим образом:

$$p_{ji} = \begin{cases} r_0 C_K^{j-i} q^{j-i} r^{K-j+i} + q_0 C_K^{j-i+1} q^{j-i+1} r^{K-j}, & \text{если } j-i < K, \\ r_0 C_j^{j-i} q^{j-i} r^i + q_0 C_j^{j-i+1} q^{j-i+1} r^i, & \text{если } i < j < K, \\ r_0 r^j + q_0 C_j^1 q^1 r^{j-1}, & \text{если } i=j < K, \\ r_0 r^K + q_0 C_K^1 q^1 r^{K-1}, & \text{если } i=j \geq K, \\ q_0 r^j, & \text{если } i+1=j < K, \\ q_0 r^K, & \text{если } i+1=j \geq K, \\ 0, & \text{иначе.} \end{cases}$$

Для определения вектора стационарных вероятностей необходимо решить СЛАУ  $\bar{\pi} = \bar{\pi} P$ , заменив одно из уравнений условием нормировки.

Характеристики ВС, вычисляемые с помощью дискретной модели, рассчитываются аналогично [4].

### Сравнительный анализ моделей

Сравним эти две модели. Зафиксируем количество устройств  $K$ , отношение  $\lambda/\mu$  и исследуем некоторые характеристики вычислительной среды (время обслуживания задачи, среднее количество задач в очереди, загрузку) в зависимости от количества задач  $M$ . Выберем те значения  $M$ , при которых ВС не будет терять заявки.

Пусть в узле два устройства. При  $\lambda/\mu/K \leq 0.4$  характеристики, вычисляемые дискретной и непрерывной моделями совпадают. Поэтому для анализа эффективности ВС можно пользоваться непрерывной



моделью. Рассматривать такие модели нецелесообразно ввиду низкой производительности этих структур, т.к. загрузка крайне мала.

При  $\lambda/\mu = 0.66$  среднее количество заявок в очереди в дискретной и непрерывной моделях расходятся не более, чем на 27%, на столько же расходятся и временные характеристики (рис.3, 4).

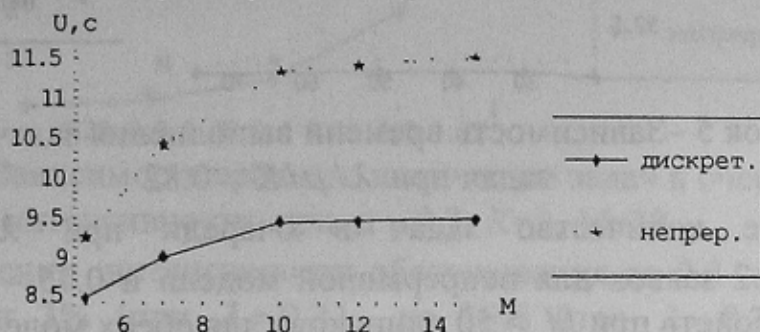


Рисунок 3 — Зависимость времени выполнения задачи от количества задач при  $\lambda/\mu/K = 0.66$

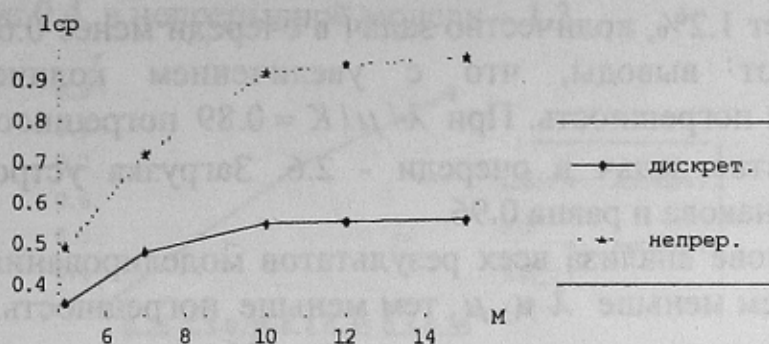


Рисунок 4 — Зависимость среднего количества заявок в очереди от количества задач при  $\lambda/\mu/K = 0.66$

Загрузка устройств в дискретной и непрерывной моделях при количестве задач более 10 остается одинаковой и равна 0.67, при  $M=5$  — равна 0.62. В этом случае анализировать эффективность ВС целесообразнее с использованием дискретных Марковских моделей, если требуется точность временных характеристик.

Если далее увеличивать соотношение  $\lambda/\mu/K$ , загрузка увеличивается, возрастает количество задач в очереди, следовательно, увеличивается погрешность. В случае предельных загрузок вычислительные структуры нецелесообразно исследовать.

При увеличении количества устройств до 10 получают следующие зависимости. При  $\lambda/\mu/K = 0.66$  погрешность временных характеристик не превышает 4%, загрузка устройств при этих данных равна 0.66, а количество задач в очереди не превышает 0.3. Т.о., с увеличением количества устройств при одинаковых соотношениях  $\lambda/\mu/K$ , уменьшается погрешность. При  $\lambda/\mu/K = 0.82$  погрешность характеристик не превышает 18% (рис. 5).

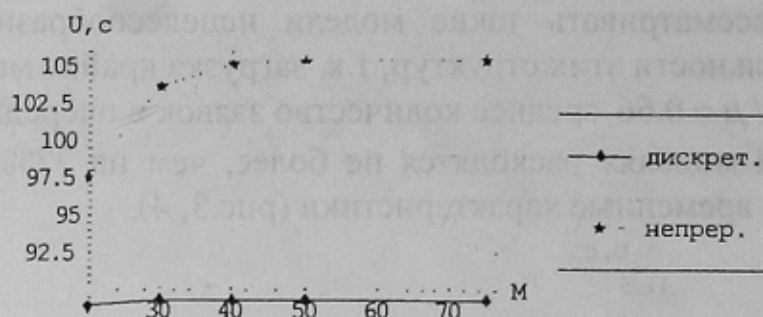


Рисунок 5 – Зависимость времени выполнения задачи от количества задач при  $\lambda/\mu/K = 0.82$

Среднее количество задач в очереди при  $\lambda/\mu/K = 0.82$  не превышает 2.2 заявок для непрерывной модели и 0.75 – для дискретной. Загрузка устройств при  $M > 50$  одинакова для обеих моделей и равна 0.82.

Увеличим количество устройств до 50. Получаются следующие зависимости. При  $\lambda/\mu/K \leq 0.82$  погрешность временных характеристик не превышает 1.2%, количество задач в очереди менее 0.6. Эти результаты подтверждают выводы, что с увеличением количества устройств уменьшается погрешность. При  $\lambda/\mu/K = 0.89$  погрешность не превышает 5%, количество задач в очереди – 2.6. Загрузка устройств для обеих моделей одинакова и равна 0.96.

На основе анализа всех результатов моделирования можно сделать вывод, что чем меньше  $\lambda$  и  $\mu$ , тем меньше погрешность.

Зафиксируем количество задач  $M$ , количество устройств  $K$  интенсивность  $\mu$  и исследуем характеристики вычислительной среды (время обслуживания задачи, среднее количество задач в очереди, загрузку) при изменении интенсивности входного потока.

Пусть  $\mu = 0.3$ ,  $K=2$ ,  $M=20$ . Загрузка изменяется от 0.3 до 0.92. Погрешность временных характеристик (рис.6) и среднего количества задач в очереди (рис. 7) не превышает 35%, загрузки для обеих моделей одинаковы (рис.8). При  $\lambda \leq 0.2$  (загрузка не превышает 0.4) погрешность менее 5%.

Уменьшим интенсивность обслуживания  $\mu$  до 0.1. Погрешность в этом случае не превышает 9% (рис.9, 10). Загрузка изменяется от 0.25 до 0.93.

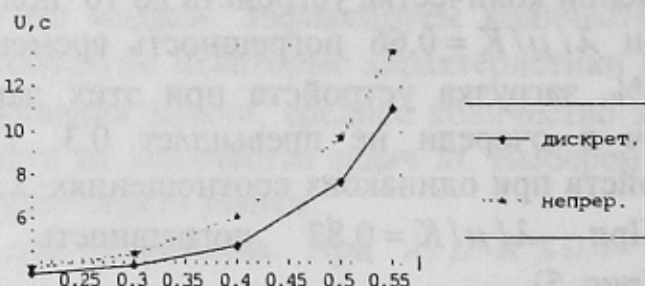


Рисунок 6 – Зависимость времени выполнения задачи от интенсивности при  $\mu = 0.3$ ,  $K=2$ ,  $M=20$

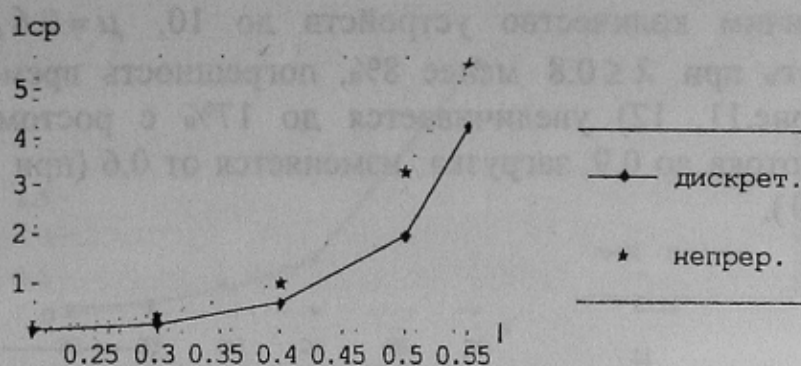


Рисунок 7 — Зависимость среднего количества задач в очереди от интенсивности при  $\mu = 0.3$ ,  $K=2$ ,  $M=20$

При увеличении интенсивности обслуживания до 0.5 погрешности увеличиваются от 3% (при  $\lambda = 0.2$ ) до 36% (при  $\lambda = 0.7$ ) с ростом интенсивности входного потока, загрузка приборов изменяется от 0.2 (при  $\lambda = 0.2$ ) до 0.7 (при  $\lambda = 0.7$ ), количество задач в очереди при  $\lambda = 0.7$  в дискретной модели 0.4, в непрерывной модели — 1.3.

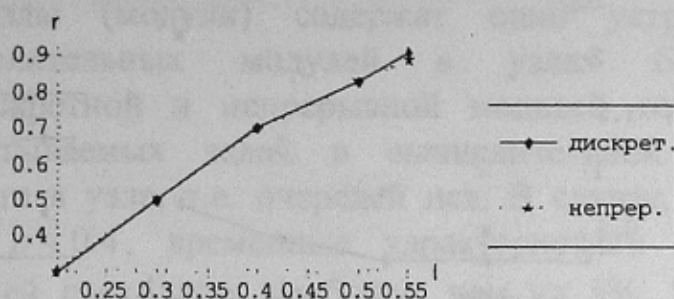


Рисунок 8 — Зависимость загрузки от интенсивности при  $\mu = 0.3$ ,  $K=2$ ,  $M=20$

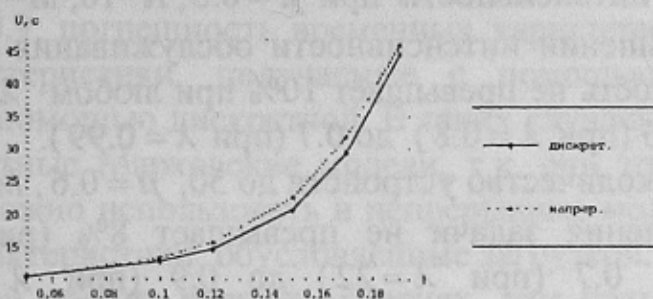


Рисунок 9 — Зависимость времени выполнения задачи от интенсивности при  $\mu = 0.1$ ,  $K=2$ ,  $M=20$

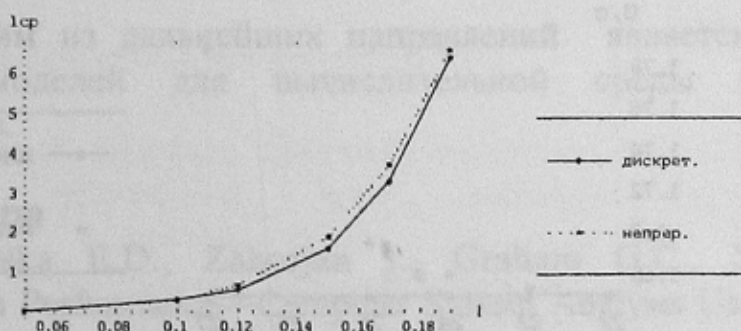


Рисунок 10 — Зависимость среднего количества задач в очереди от интенсивности при  $\mu = 0.1$ ,  $K=2$ ,  $M=20$



Увеличим количество устройств до 10,  $\mu=0.6$ ,  $K=10$ ,  $M=100$ . Погрешность при  $\lambda \leq 0.8$  менее 8%, погрешность времени выполнения задачи (рис.11, 12) увеличивается до 17% с ростом интенсивности входного потока до 0.9, загрузка изменяется от 0.6 (при  $\lambda = 0.6$ ) до 0.83 (при  $\lambda = 0.9$ ).

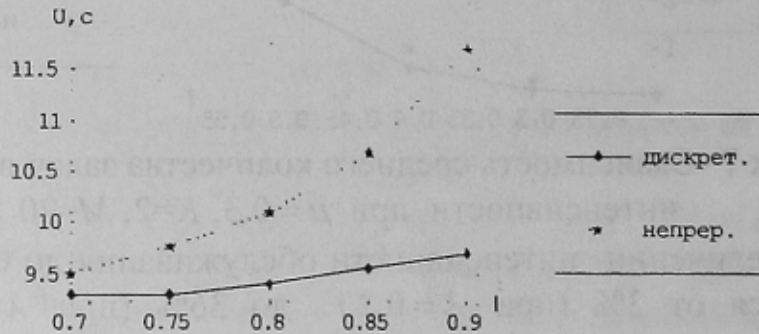


Рисунок 11 – Зависимость времени выполнения задач от интенсивности при  $\mu = 0.6$ ,  $K=10$ ,  $M=100$

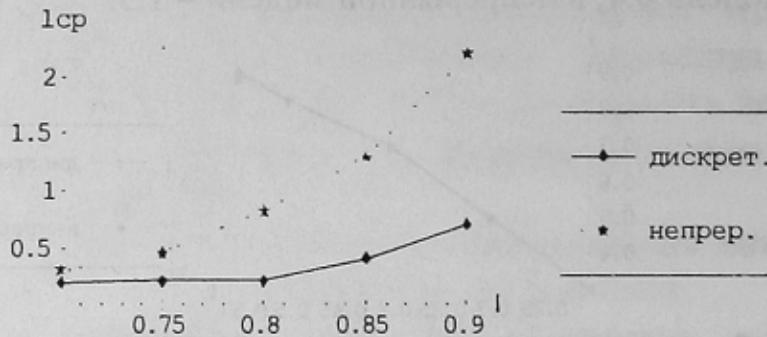


Рисунок 12 – Зависимость среднего количества задач в очереди от интенсивности при  $\mu = 0.6$ ,  $K=10$ ,  $M=100$

При уменьшении интенсивности обслуживания до 0.1 при тех же данных погрешность не превышает 10% при любом  $\lambda$ , при этом загрузка изменяется от 0.6 (при  $\lambda = 0.8$ ) до 0.7 (при  $\lambda = 0.99$ ).

Увеличим количество устройств до 50,  $\mu = 0.6$ ,  $M=500$ . Погрешность времени выполнения задачи не превышает 8% (рис.13, 14), загрузка изменяется от 0.7 (при  $\lambda = 22$ ) до 0.9 (при  $\lambda = 27$ ). Дальнейшее увеличение интенсивности входного потока влечет увеличение погрешности и нагрузки.

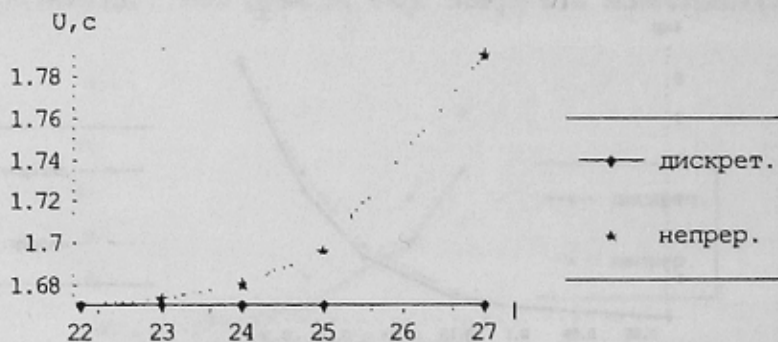


Рисунок 13 – Зависимость времени выполнения задач от интенсивности при  $\mu = 0.6$ ,  $K=50$ ,  $M=500$

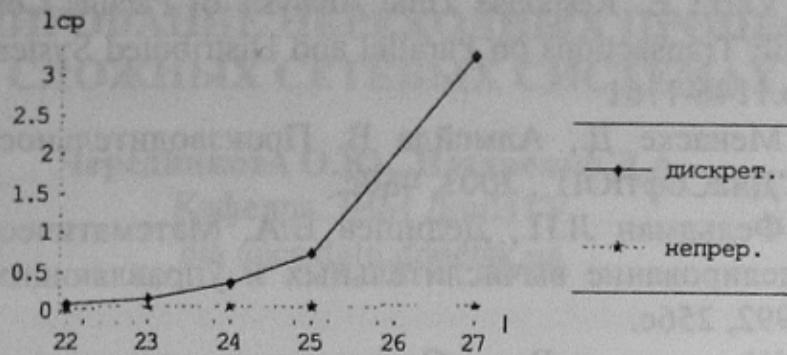


Рисунок 14 – Зависимость среднего количества задач в очереди от интенсивности при  $\mu = 0.6$ ,  $K=50$ ,  $M=500$

### Выводы

На основе анализа результатов моделирования с помощью дискретной и непрерывной моделей можно сделать выводы: характеристики, получаемые обеими моделями идентичны в случаях, если все вычислительные узлы (модули) содержат одно устройство. Если количество вычислительных модулей в узлах более одного, характеристики дискретной и непрерывной моделей совпадают, если количество обрабатываемых задач в вычислительной среде менее количества устройств в узле, т.е. очередей нет. В случае, если загрузки узлов небольшие  $\rho < 0.4$ , временные характеристики дискретной и непрерывной моделей расходятся не более, чем на 5%. В этом случае эффективнее для исследования ВС использовать непрерывные модели, т.к. они менее трудоемки. В случае, если загрузка устройств находится в пределах от 0.4 до 0.9, погрешность временных характеристик достигает 35%, причем характеристики, получаемые с помощью непрерывной модели, хуже, чем с помощью дискретной. В таких случаях целесообразно использовать дискретные Марковские модели, т.к. они точнее отражают работу ВС, однако можно использовать и непрерывные модели, если надо получить только характеристики, обусловленные загрузкой.

Кроме этого, при прочих равных условиях, чем больше количество устройств в узле, тем меньше расхождения в дискретной и непрерывной моделях.

Поэтому одним из дальнейших направлений является разработка приближенных моделей для вычислительной среды с большим количеством узлов.

### Литература

1. Lazowska E.D., Zahorjan J., Graham G.C., Sevcik K.C. Quantitative System Performance—Computer System Analysis Using Queueing Network Models. Prentice-Hall, 1984



2. Varki E. Response Time Analysis of Parallel Computer and Storage Systems //IEEE Transactions on Parallel and Distributed Systems, vol. 12, №1 1, nov.2001, pp.1146-1161
3. Менаске Д., Алмейда В. Производительность WEB-служб.- СПб: ООО "ДиаСофтЮП", 2003, 480с.
4. Фельдман Л.П., Дедищев В.А. Математическое обеспечение САПР. Моделирование вычислительных и управляющих систем. –Киев: УМК ВО, 1992, 256с.
5. Шнитман В. Современные высокопроизводительные компьютеры. Информационно-аналитические материалы центра информационных технологий, 1996: [http://hardware/app\\_kis](http://hardware/app_kis).
6. Корнеев В.В. Параллельные вычислительные системы. –М., 1999, 312с.
7. Столингс У. Структурная организация и архитектура компьютерных систем.- М.: Вильямс, 2002, 893с.

Дата надходження до редакції 06.05.2005 р.